

Я. М. Григоренко, Ю. А. Авраменко

## ОПРЕДЕЛЕНИЕ В УТОЧНЕННОЙ ПОСТАНОВКЕ НАПРЯЖЕННОГО СОСТОЯНИЯ ОРТОТРОПНЫХ ТОРОИДАЛЬНЫХ ОБОЛОЧЕК

*Институт механики им. С.П. Тимошенко НАНУ, ул. Нестерова, 3, 03057, Киев, Украина; e-mail: ayagrigorenko@yandex.ru, iuliavra@yandex.ru*

**Abstract.** Basing on the developed before approach, the solution of a problem on stress state of orthotropic toroidal shells in the non-classical statement is given. The solution is founded on the rectilinear element hypothesis. The findings are shown on the deflection an stress distribution in dependence of the shall axis curvature.

**Key words:** toroidal shell, stress state, non-classical statement.

### Введение.

В качестве элементов конструкций современной техники, наряду с оболочками вращения [4, 6, 21], широко используются тороидальные оболочки, в частности, в энергомашиностроении, в газовой и химической промышленности [2, 6, 9, 10]. Решение задач о напряженном состоянии тороидальных оболочек получено в основном в классической постановке для случаев, когда можно разделить переменные и свести задачу к одномерной [2, 14].

В настоящей статье получена система разрешающих дифференциальных уравнений в частных производных для задачи о напряженном состоянии ортотропных тороидальных оболочек с произвольными граничными условиями на торцах в уточненной постановке [10, 16]. Решение двумерной задачи проведено на основе сведения ее к одномерной с помощью метода сплайн аппроксимации и решения последней устойчивым численным методом дискретной ортогонализации. Проведен анализ полей перемещений и напряжений в зависимости от степени искривления оси оболочки.

### 1. Постановка задачи.

Рассмотрим замкнутые в поперечном сечении усеченные тороидальные ортотропные оболочки постоянной толщины с круговым поперечным сечением (рис. 1), которые находятся под действием поверхностной нагрузки. Координатную поверхность оболочки отнесем к системе ортогональных криволинейных координат  $\eta, \theta$ , где  $\eta$  – угол в осевом сечении, а  $\theta$  – угол в поперечном сечении оболочки, при этом  $\eta_1 \leq \eta \leq \eta_2, -\pi/2 \leq \theta \leq \pi/2$ .

Первая квадратичная форма [6] срединной поверхности имеет вид

$$dS^2 = A_1^2 d\alpha_1^2 + A_2^2 d\alpha_2^2, \quad (1)$$

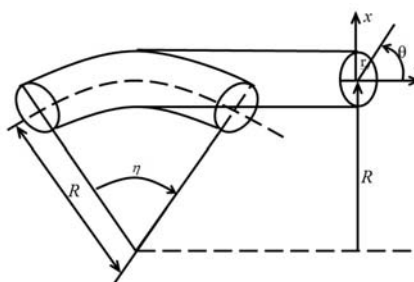


Рис. 1

$$A_1 = R + r \sin \theta, \alpha_1 = \eta, \alpha_2 = \theta, \eta_1 \leq \eta \leq \eta_2, -\pi/2 \leq \theta \leq \pi/2, \quad (2)$$

где  $R$  – радиус осевой окружности;  $r$  – радиус окружности в поперечном сечении.

Оболочка находится под действием нормального давления  $q = q(\eta, \theta)$ . Напряженно-деформированное состояние оболочки исследуем по уточненной теории оболочек типа Тимошенко [16], основанной на гипотезе прямой линии [6, 7, 10, 20]. Суть принятой гипотезы состоит в том, что первоначально нормальный к координатной поверхности элемент оболочки после деформации остается прямолинейным, но уже перпендикулярным к деформированной координатной поверхности. При этом также принимаем, что указанный элемент не изменяет свою длину.

В соответствии с принятой гипотезой перемещения оболочки запишем в виде

$$\begin{aligned} u_\eta(\eta, \theta, \gamma) &= u(\eta, \theta) + \gamma \psi_\eta(\eta, \theta); \\ u_\theta(\eta, \theta, \gamma) &= v(\eta, \theta) + \gamma \psi_\theta(\eta, \theta); \\ u_\gamma(\eta, \theta, \gamma) &= w(\eta, \theta). \end{aligned} \quad (3)$$

В выражениях (3)  $\eta, \theta, \gamma$  – координаты точек оболочки в направлениях образующей, направляющей и нормали к выбранной (исходной) координатной поверхности  $\gamma = const$ ;  $u_\eta, u_\theta, u_\gamma$  – соответствующие перемещения;  $u, v, w$  – перемещения точек координатной поверхности в направлениях  $\eta, \theta, \gamma$ ;  $\psi_\eta, \psi_\theta$  – полные углы поворота прямолинейного элемента.

В соответствии с (3) выражения для деформации запишем в виде

$$\begin{aligned} e_\eta(\eta, \theta, \gamma) &= \varepsilon_\eta(\eta, \theta) + \gamma \chi_\eta(\eta, \theta); \\ e_\theta(\eta, \theta, \gamma) &= \varepsilon_\theta(\eta, \theta) + \gamma \chi_\theta(\eta, \theta); \\ e_{\eta\theta}(\eta, \theta, \gamma) &= \varepsilon_{\eta\theta}(\eta, \theta) + \gamma 2 \chi_{\eta\theta}(\eta, \theta); \\ e_{\eta\gamma}(\eta, \theta, \gamma) &= \gamma_\eta(\eta, \theta); \\ e_{\theta\gamma}(\eta, \theta, \gamma) &= \gamma_\theta(\eta, \theta); \end{aligned} \quad (4)$$

$$\left( \varepsilon_\eta = \frac{1}{A_1} \frac{\partial u}{\partial \eta} + \frac{1}{A_1 A_2} \frac{\partial A_1}{\partial \theta} v + k_1 w, \varepsilon_\theta = \frac{1}{A_2} \frac{\partial v}{\partial \theta} + k_2 w, \varepsilon_{\eta\theta} = \frac{A_1}{A_2} \frac{\partial}{\partial \theta} \left( \frac{u}{A_1} \right) + \frac{A_1}{A_2} \frac{\partial}{\partial \eta} \left( \frac{v}{A_2} \right); \right.$$

$$\chi_\eta = \frac{1}{A_1} \frac{\partial \psi_\eta}{\partial \eta} + \frac{1}{A_1 A_2} \frac{\partial A_1}{\partial \theta} \psi_\theta - k_1 \varepsilon_\eta, \chi_\theta = \frac{1}{A_2} \frac{\partial \psi_\theta}{\partial \theta} - k_2 \varepsilon_\theta;$$

$$\chi_{\eta\theta} = \frac{1}{2} \left( \frac{A_1}{A_2} \frac{\partial}{\partial \eta} \left( \frac{\psi_\theta}{A_1} \right) + \frac{A_2}{A_1} \frac{\partial}{\partial \theta} \left( \frac{\psi_\eta}{A_2} \right) - \frac{k_1}{A_1} \left( \frac{\partial v}{\partial \eta} - \frac{1}{A_2} \frac{\partial A_1}{\partial \theta} u \right) - \frac{k_2}{A_2} \frac{\partial u}{\partial \theta} \right); \quad (5)$$

$$\psi_\eta = \gamma_\eta + \vartheta_\eta, \psi_\theta = \gamma_\theta + \vartheta_\theta; \vartheta_\eta = -\frac{1}{A_1} \frac{\partial w}{\partial \eta} + k_1 u, \vartheta_\theta = -\frac{1}{A_2} \frac{\partial w}{\partial \theta} + k_1 v;$$

$$k_1 = \frac{1}{R + r \sin \theta}, k_2 = \frac{1}{r}.$$

В выражении (5)  $\varepsilon_\eta, \varepsilon_\theta, \varepsilon_{\eta\theta}$  – тангенциальные, а  $\chi_\eta, \chi_\theta, \chi_{\eta\theta}$  – изгибные деформации координатной поверхности;  $k_1, k_2$  – кривизны осевой окружности и окружности в поперечном сечении соответственно;  $\vartheta_\eta, \vartheta_\theta$  – углы поворота нормали без учета поперечных сдвигов;  $\gamma_\eta, \gamma_\theta$  – углы поворота нормали, обусловленные поперечными сдвигами.

Уравнения равновесия элемента оболочки имеют вид

$$\begin{aligned} \frac{\partial}{\partial \eta} (A_2 N_\eta) + \frac{\partial}{\partial \theta} (A_2 N_{\theta\eta}) + N_{\eta\theta} \frac{\partial A_1}{\partial \theta} + A_1 A_2 k_1 Q_\eta + A_1 A_2 q_\eta &= 0; \\ \frac{\partial}{\partial \theta} (A_1 N_\theta) - N_\eta \frac{\partial A_1}{\partial \theta} + \frac{\partial}{\partial \eta} (A_2 N_{\eta\theta}) + A_1 Q_\theta + A_1 A_2 q_\theta &= 0; \\ \frac{\partial}{\partial \eta} (A_2 Q_\eta) + \frac{\partial}{\partial \theta} (A_1 Q_\theta) - A_1 A_2 k_1 N_\eta - A_1 N_\theta + A_1 A_2 q_\gamma &= 0; \\ \frac{\partial}{\partial \eta} (A_2 M_\eta) + \frac{\partial}{\partial \theta} (A_1 M_{\eta\theta}) + M_{\eta\theta} \frac{\partial A_1}{\partial \theta} - A_1 A_2 Q_\eta &= 0; \\ \frac{\partial}{\partial \theta} (A_1 M_\theta) - M_\eta \frac{\partial A_1}{\partial \theta} + \frac{\partial}{\partial \eta} (A_2 M_{\eta\theta}) - A_1 A_2 Q_\theta &= 0; \\ N_{\eta\theta} - k_2 M_{\eta\theta} - N_{\theta\eta} + k_1 M_{\eta\theta} &= 0, \end{aligned} \quad (6)$$

где  $N_\eta, N_\theta, N_{\eta\theta}, N_{\theta\eta}$  – тангенциальные усилия;  $Q_\eta, Q_\theta$  – перерезывающие усилия;  $M_\eta, M_\theta, M_{\eta\theta}, M_{\theta\eta}$  – изгибающие и крутящие моменты;  $q_\eta, q_\theta, q_\gamma$  – компоненты поверхностной нагрузки.

Соотношения упругости для ортотропных оболочек относительно выбранной координатной поверхности записываем в виде

$$\begin{aligned} N_\eta &= C_{11} \varepsilon_\eta + C_{12} \varepsilon_\theta; \quad N_\theta = C_{12} \varepsilon_\eta + C_{22} \varepsilon_\theta; \\ N_{\eta\theta} &= C_{66} \varepsilon_{\eta\theta} + 2k_2 D_{66} \chi_{\eta\theta}; \quad N_{\theta\eta} = C_{66} \varepsilon_{\eta\theta} + 2k_1 D_{66} \chi_{\eta\theta}; \\ M_\eta &= D_{11} \chi_\eta + D_{12} \chi_\theta; \quad M_\theta = D_{12} \chi_\eta + D_{22} \chi_\theta; \quad M_{\eta\theta} = 2D_{66} \chi_{\eta\theta}; \\ Q_\eta &= K_1 \gamma_\eta; \quad Q_\theta = K_2 \gamma_\theta \end{aligned} \quad (7)$$

$$\begin{aligned} \left( C_{11} = \frac{E_\eta h}{1 - \nu_\eta \nu_\theta}; \quad C_{12} = \nu_\theta C_{11}; \quad C_{22} = \frac{E_\theta h}{1 - \nu_\eta \nu_\theta}; \quad C_{66} = G_{\eta\theta} h; \right. \\ D_{11} = \frac{E_\eta h^3}{12(1 - \nu_\eta \nu_\theta)}; \quad D_{12} = \nu_\theta D_{11} \chi_\theta; \quad D_{22} = \frac{E_\theta h^3}{12(1 - \nu_\eta \nu_\theta)}; \quad D_{66} = \frac{G_{\eta\theta} h^3}{12}; \\ \left. K_1 = \frac{5}{6} G_{\eta\gamma}; \quad K_2 = \frac{5}{6} G_{\theta\gamma} \right). \end{aligned} \quad (8)$$

В формулах (8)  $E_\eta, E_\theta, \nu_\eta, \nu_\theta$  – модули упругости и коэффициенты Пуассона в направлениях  $\eta$  и  $\theta$ ;  $G_{\eta\theta}, G_{\eta\gamma}, G_{\theta\gamma}$  – модуль сдвига;  $h = h(\eta, \theta)$  – толщина оболочки.

Соотношения (5) – (7) представляют замкнутую систему дифференциальных уравнений в частных производных 10-го порядка. Для определения произволов, содержащихся в общем интеграле этой системы, необходимо задать граничные условия на контурах оболочки при  $\eta = \text{const}$ . В отличие от классической теории оболочек, в которой на каждом контуре формулируются по четыре граничных условия, в уточненной теории оболочек принятая модель позволяет задать на каждом контуре по пять граничных условий, что соответствует числу искомых функций. Граничные условия могут быть сформулированы через усилия, моменты, перемещения и полные углы поворота нормали.

Для определения напряжений в ортотропных тороидальных оболочках исходим из соотношений закона Гука

$$\begin{aligned} e_\eta &= b_{11}\sigma_\eta + b_{12}\sigma_\theta; e_\theta = b_{12}\sigma_\eta + b_{22}\sigma_\theta; \\ e_{\eta\theta} &= b_{66}\tau_{\eta\theta}; e_{\eta\gamma} = b_{55}\tau_{\eta\gamma}; e_{\theta\gamma} = b_{44}\tau_{\theta\gamma} \end{aligned} \quad (9)$$

$$\left( b_{11} = \frac{1}{E_\eta}; b_{12} = -\frac{\nu_\eta}{E_\eta}; b_{22} = \frac{1}{E_\theta}; b_{66} = \frac{1}{G_{\eta\theta}}; b_{55} = \frac{1}{G_{\eta\gamma}}; b_{44} = \frac{1}{G_{\theta\gamma}} \right). \quad (10)$$

Разрешая равенства (9) относительно напряжений и используя (4), получаем выражения для напряжений через деформации координатной поверхности

$$\begin{aligned} (b_{11}b_{22} - b_{12}^2)\sigma_\eta &= b_{22}(\varepsilon_\eta + \gamma\chi_\eta) - b_{12}(\varepsilon_\theta + \gamma\chi_\theta); \\ (b_{12}^2 - b_{11}b_{22})\sigma_\theta &= b_{12}(\varepsilon_\eta + \gamma\chi_\eta) - b_{11}(\varepsilon_\theta + \gamma\chi_\theta); \end{aligned} \quad (11)$$

$$b_{66}\tau_{\eta\theta} = \varepsilon_{\eta\theta} + 2\gamma\chi_{\eta\theta}; b_{55}\tau_{\eta\gamma} = \gamma_\eta; b_{44}\tau_{\theta\gamma} = \gamma_\theta; \left( -\frac{h}{2} \leq \gamma \leq \frac{h}{2} \right).$$

## 2. Методика решения задачи.

Для рассматриваемого класса двумерных краевых задач применим подход [8,11], основанный на аппроксимации искомого решения в одном координатном направлении с помощью сплайн-функций [4, 12, 13, 17 – 19], а для решения полученной при этом одномерной краевой задачи используем устойчивый численный метод дискретной ортогонализации [1, 3, 6]. Такой подход позволяет решать задачи для различных граничных условий на каждом контуре оболочки. При этом преследуем цель, чтобы при аппроксимации решения можно было ограничиться сплайн-функциями наименьшей степени. В качестве разрешающих функций выбираем перемещения  $u, v, w$  в направлениях оси оболочки, поперечном и нормальном, и полные углы поворота нормали  $\psi_\eta, \psi_\theta$ . В соответствии с данным подходом после некоторых преобразований разрешающую систему уравнений запишем в виде

$$\begin{aligned} \frac{\partial^2 u}{\partial \theta^2} &= a_{11} \frac{\partial^2 u}{\partial \eta^2} + a_{12} \frac{\partial^2 v}{\partial \theta \partial \eta} + a_{13} \frac{\partial^2 \psi_\eta}{\partial \eta^2} + a_{14} \frac{\partial^2 \psi_\theta}{\partial \theta \partial \eta} + a_{15} \frac{\partial u}{\partial \eta} + \\ &+ a_{16} \frac{\partial v}{\partial \eta} + a_{17} \frac{\partial w}{\partial \eta} + a_{18} \frac{\partial \psi_\eta}{\partial \eta} + a_{19} \frac{\partial \psi_\theta}{\partial \eta} + a_{1,10} \frac{\partial u}{\partial \theta} + a_{1,11} \frac{\partial v}{\partial \theta} + \\ &+ a_{1,12} \frac{\partial \psi_\eta}{\partial \theta} + a_{1,13} \frac{\partial \psi_\theta}{\partial \theta} + a_{1,14} u + a_{1,15} v + a_{1,16} w + a_{1,17} \psi_\eta + a_{1,18} \psi_\theta + a_{1,19}; \end{aligned}$$

$$\begin{aligned}
\frac{\partial^2 v}{\partial \theta^2} &= a_{21} \frac{\partial^2 u}{\partial \theta \partial \eta} + a_{22} \frac{\partial^2 v}{\partial \eta^2} + a_{23} \frac{\partial^2 \psi_\eta}{\partial \theta \partial \eta} + a_{24} \frac{\partial^2 \psi_\theta}{\partial \eta^2} + \\
&+ a_{25} \frac{\partial u}{\partial \eta} + a_{26} \frac{\partial v}{\partial \eta} + a_{27} \frac{\partial \psi_\eta}{\partial \eta} + a_{28} \frac{\partial \psi_\theta}{\partial \eta} + a_{29} \frac{\partial u}{\partial \theta} + a_{2,10} \frac{\partial v}{\partial \theta} + \\
&+ a_{2,11} \frac{\partial w}{\partial \theta} + a_{2,12} \frac{\partial \psi_\eta}{\partial \theta} + a_{2,13} u + a_{2,14} v + a_{2,15} w + a_{2,16} \psi_\eta + a_{2,17} \psi_\theta + a_{2,18}; \\
\frac{\partial^2 w}{\partial \theta^2} &= a_{31} \frac{\partial^2 w}{\partial \eta^2} + a_{32} \frac{\partial u}{\partial \eta} + a_{33} \frac{\partial w}{\partial \eta} + a_{34} \frac{\partial \psi_\eta}{\partial \eta} + a_{35} \frac{\partial v}{\partial \theta} + \\
&+ a_{36} \frac{\partial w}{\partial \theta} + a_{37} \frac{\partial \psi_\theta}{\partial \theta} + a_{38} u + a_{39} v + a_{3,10} w + a_{3,11} \psi_\eta + a_{3,12} \psi_\theta + a_{3,13}; \\
\frac{\partial^2 \psi_\eta}{\partial \theta^2} &= a_{41} \frac{\partial^2 u}{\partial \eta^2} + a_{42} \frac{\partial^2 v}{\partial \theta \partial \eta} + a_{43} \frac{\partial^2 \psi_\eta}{\partial \eta^2} + a_{44} \frac{\partial^2 \psi_\theta}{\partial \theta \partial \eta} + a_{45} \frac{\partial u}{\partial \eta} + \\
&+ a_{46} \frac{\partial v}{\partial \eta} + a_{47} \frac{\partial w}{\partial \eta} + a_{48} \frac{\partial \psi_\eta}{\partial \eta} + a_{49} \frac{\partial \psi_\theta}{\partial \eta} + a_{4,10} \frac{\partial u}{\partial \theta} + a_{4,11} \frac{\partial v}{\partial \theta} + \\
&+ a_{4,12} \frac{\partial \psi_\eta}{\partial \theta} + a_{4,13} \frac{\partial \psi_\theta}{\partial \theta} + a_{4,14} u + a_{4,15} v + a_{4,16} w + a_{4,17} \psi_\eta + a_{4,18} \psi_\theta + a_{4,19}; \\
\frac{\partial^2 \psi_\theta}{\partial \theta^2} &= a_{51} \frac{\partial^2 u}{\partial \theta \partial \eta} + a_{52} \frac{\partial^2 v}{\partial \eta^2} + a_{53} \frac{\partial^2 \psi_\eta}{\partial \theta \partial \eta} + a_{54} \frac{\partial^2 \psi_\theta}{\partial \eta^2} + a_{55} \frac{\partial u}{\partial \eta} + \\
&+ a_{56} \frac{\partial v}{\partial \eta} + a_{57} \frac{\partial \psi_\eta}{\partial \eta} + a_{58} \frac{\partial \psi_\theta}{\partial \eta} + a_{59} \frac{\partial u}{\partial \theta} + a_{5,10} \frac{\partial v}{\partial \theta} + a_{5,11} \frac{\partial w}{\partial \theta} + \\
&+ a_{5,12} \frac{\partial \psi_\eta}{\partial \theta} + a_{5,13} \frac{\partial \psi_\theta}{\partial \theta} + a_{5,14} u + a_{4,15} v + a_{5,16} w + a_{5,17} \psi_\eta + a_{5,18} \psi_\theta + a_{5,19}.
\end{aligned} \tag{12}$$

Коэффициенты  $a_{ij}$  в системе (12) определяются следующим образом:

$$\begin{aligned}
a_{11} &= -r^2 (C_{11} + D_{11} k_1^2) / A_1^2 C_{66}; \\
a_{12} &= -(rC_{66} + rC_{12} + k_1 D_{12}) / A_1 C_{66}; \quad a_{13} = D_{11} r^2 k_1 / A_1^2 C_{66}; \\
a_{14} &= r k_1 D_{12} / A_1 C_{66}; \quad a_{15} = -r^2 \left( k_1^2 \frac{\partial D_{11}}{\partial \eta} + \frac{\partial C_{11}}{\partial \eta} \right) / A_1^2 C_{66}; \\
a_{16} &= \left( A_1 r k_1 D_{66} \frac{\partial k_1}{\partial \theta} - r C_{66} \frac{\partial A_1}{\partial \theta} - r D_{11} k_1^2 \frac{\partial A_1}{\partial \theta} - r k_1^2 D_{66} \frac{\partial A_1}{\partial \theta} + \right. \\
&\quad \left. + k_1 D_{66} \frac{\partial A_1}{\partial \theta} - r C_{11} \frac{\partial A_1}{\partial \theta} - A_1 r \frac{\partial C_{66}}{\partial \theta} \right) / A_1^2 C_{66};
\end{aligned} \tag{13}$$

$$\begin{aligned}
a_{17} &= -2r^2 k_1 K_1 + r^2 k_1 C_{11} + r^2 D_{11} k_1^3 + r C_{12} + k_1 D_{12} / A_1 C_{66}; \quad a_{18} = r^2 \frac{k_1}{A_1^2 C_{66}} \cdot \frac{\partial D_{11}}{\partial \eta}; \\
a_{19} &= \left( r k_1 D_{66} \frac{\partial A_1}{\partial \theta} - A_1 r D_{66} \frac{\partial k_1}{\partial \theta} + r k_1 D_{11} \frac{\partial A_1}{\partial \theta} - D_{66} \frac{\partial A_1}{\partial \theta} \right) / A_1^2 C_{66}; \\
a_{1,10} &= \left( A_1 r D_{66} \frac{\partial k_1}{\partial \theta} + D_{66} \frac{\partial A_1}{\partial \theta} - r^2 C_{66} \frac{\partial A_1}{\partial \theta} - A_1 r^2 \frac{\partial C_{66}}{\partial \theta} - r k_1 D_{66} \frac{\partial A_1}{\partial \theta} \right) / A_1 r^2 C_{66}; \\
a_{111} &= - \left( r \frac{\partial C_{12}}{\partial \eta} + k_1 \frac{\partial D_{12}}{\partial \eta} \right) / A_1 C_{66}; \quad a_{1,12} = \frac{D_{66}}{A_1 r C_{66}} \cdot \left( r k_1 \frac{\partial A_1}{\partial \theta} - \frac{\partial A_1}{\partial \theta} - A_1 r \frac{\partial k_1}{\partial \theta} \right); \\
a_{1,13} &= \frac{r k_1}{A_1 C_{66}} \cdot \frac{\partial D_{12}}{\partial \eta}; \quad a_{1,14} = \\
&= \left( r C_{66} \left( \frac{\partial A_1}{\partial \theta} \right)^2 + A_1 r C_{66} \frac{\partial^2 A_1}{\partial \theta^2} + 2 A_1^2 r^3 k_1^2 K_1 + A_1 r \frac{\partial C_{66}}{\partial \theta} \cdot \frac{\partial A_1}{\partial \theta} + r k_1^2 D_{66} \left( \frac{\partial A_1}{\partial \theta} \right)^2 \right) / A_1^2 r C_{66} - \\
&\quad - \left( k_1 D_{66} \left( \frac{\partial A_1}{\partial \theta} \right)^2 + A_1 r k_1 D_{66} \frac{\partial k_1}{\partial \theta} \cdot \frac{\partial A_1}{\partial \theta} \right) / A_1^2 r C_{66}; \\
a_{1,15} &= -r \left[ \left( k_1^2 \frac{\partial D_{11}}{\partial \eta} + \frac{\partial C_{11}}{\partial \eta} \right) \cdot \frac{\partial A_1}{\partial \theta} \right] / A_1^2 C_{66}; \\
a_{1,16} &= - \left( r^2 k_1 \frac{\partial C_{11}}{\partial \eta} + r^2 k_1^3 \frac{\partial D_{11}}{\partial \eta} + r \frac{\partial C_{12}}{\partial \eta} + k_1 \frac{\partial D_{12}}{\partial \eta} \right) / A_1 C_{66}; \\
a_{1,17} &= \left[ D_{66} \left( \frac{\partial A_1}{\partial \theta} \right)^2 - r k_1 D_{66} \left( \frac{\partial A_1}{\partial \theta} \right)^2 + A_1 r D_{66} \frac{\partial k_1}{\partial \theta} \cdot \frac{\partial A_1}{\partial \theta} - 2 A_1^2 r^3 k_1 K_1 \right] / A_1^2 r C_{66}; \\
a_{1,18} &= \frac{r k_1}{A_1^2 C_{66}} \cdot \frac{\partial D_{11}}{\partial \eta} \cdot \frac{\partial A_1}{\partial \theta}; \quad a_{1,19} = r^2 \frac{q_\eta}{C_{66}}; \\
a_{21} &= D_{66} - r^2 C_{12} - r^2 C_{66} / A_1 r C_{22}; \quad a_{22} = r (k_1 D_{66} - r C_{66}) / A_1^2 C_{22}; \\
a_{23} &= - \frac{D_{66}}{A_1 C_{22}}; \quad a_{24} = - \frac{r D_{66}}{A_1^2 C_{22}}; \\
a_{25} &= \left( r C_{66} \frac{\partial A_1}{\partial \theta} + r C_{11} \frac{\partial A_1}{\partial \theta} - k_1 D_{66} \frac{\partial A_1}{\partial \theta} - A_1 r \frac{\partial C_{12}}{\partial \theta} \right) / A_1^2 C_{22}; \\
a_{26} &= \frac{r}{A_1^2 C_{22}} \cdot \left( k_1 \frac{\partial D_{66}}{\partial \eta} - r \frac{\partial C_{66}}{\partial \eta} \right);
\end{aligned}$$

$$\begin{aligned}
a_{27} &= \frac{D_{66}}{A_1^2 C_{22}} \cdot \frac{\partial A_1}{\partial \theta}; a_{28} = -\frac{1}{A_1^2 C_{22}} \cdot \frac{\partial D_{66}}{\partial \eta}; a_{29} = \left( \frac{\partial D_{66}}{\partial \eta} - r^2 \frac{\partial C_{66}}{\partial \eta} \right) / A_1 r C_{22}; \\
a_{2,10} &= -\left( A_1 \frac{\partial C_{22}}{\partial \theta} + C_{22} \frac{\partial A_1}{\partial \theta} \right) / A_1 C_{22}; a_{2,11} = -(C_{22} + K_2 + r k_1 C_{12}) / C_{22}; \\
a_{2,12} &= -\frac{1}{A_1 C_{22}} \cdot \frac{\partial D_{66}}{\partial \eta}; a_{2,13} = \frac{1}{A_1^2 C_{22}} \cdot \frac{\partial A_1}{\partial \theta} \cdot \left( r \frac{\partial C_{66}}{\partial \eta} - k_1 \frac{\partial D_{66}}{\partial \eta} \right); \\
a_{2,14} &= \left( A_1^2 K_2 - A_1 \frac{\partial C_{12}}{\partial \theta} \cdot \frac{\partial A_1}{\partial \theta} - A_1 C_{12} \frac{\partial^2 A_1}{\partial \theta^2} + C_{11} \left( \frac{\partial A_1}{\partial \theta} \right)^2 \right) / A_1^2 C_{22}; \\
a_{2,15} &= \frac{r k_1 C_{11} - r k_1 C_{12} + C_{12} - C_{22}}{A_1 C_{22}} \cdot \frac{\partial A_1}{\partial \theta} + \left( \frac{\partial C_{22}}{\partial \theta} + r k_1 \frac{\partial C_{12}}{\partial \theta} + r C_{12} \frac{\partial k_1}{\partial \theta} \right) / C_{22}; \\
a_{2,16} &= \frac{1}{A_1^2 C_{22}} \cdot \frac{\partial D_{66}}{\partial \eta} \cdot \frac{\partial A_1}{\partial \theta}; a_{2,17} = -r \frac{K_2}{C_{22}}; a_{2,18} = -\frac{r^2 q_\theta}{C_{22}}; \\
a_{31} &= -\frac{r^2 K_1}{A_1^2 K_2}; a_{32} = r \frac{(r k_1 K_1 + r C_{11} k_1 + C_{12})}{A_1 K_2}; a_{33} = -\frac{r^2}{A_1^2 K_2} \cdot \frac{\partial K_1}{\partial \eta}; a_{34} = -\frac{r^2 K_1}{A_1 K_2}; \\
a_{35} &= \frac{C_{22} + K_2 + r C_{12} k_1}{K_2}; a_{36} = -\frac{\left( K_2 \frac{\partial A}{\partial \theta} + A \frac{\partial K_2}{\partial \theta} \right)}{A K_2}; a_{37} = -r; a_{38} = \frac{r^2 k_1}{A K_2} \cdot \frac{\partial K_1}{\partial \eta}; \\
a_{39} &= \frac{1}{A_1 K_2} \left( C_{12} \frac{\partial A_1}{\partial \theta} + r k_1 C_{11} \frac{\partial A_1}{\partial \theta} + A_1 \frac{\partial K_2}{\partial \theta} + K_2 \frac{\partial A}{\partial \theta} \right); a_{3,10} = \frac{2r k_1 C_{12} + C_{22} + r^2 k_1^2 C_{11}}{K_2}; \\
a_{3,11} &= -\frac{r^2}{A K_2} \cdot \frac{\partial K_1}{\partial \eta}; a_{3,12} = -r \frac{\left( K_2 \frac{\partial A}{\partial \theta} + A \frac{\partial K_2}{\partial \theta} \right)}{A K_2}; a_{3,13} = -\frac{r^2 q_\eta}{K_2}; \\
a_{41} &= -r \frac{\left( k_1^2 D_{11} D_{66} - r k_1 D_{11} C_{66} + C_{11} D_{66} \right)}{A_1^2 D_{66} C_{66}}; a_{42} = \frac{1}{A_1} \left( r k_1 - 1 - \frac{r C_{12} + k_1 D_{12}}{r C_{66}} + \frac{D_{12}}{D_{66}} \right); \\
a_{43} &= r \frac{\left( k_1 D_{66} - r C_{66} \right)}{A_1^2 D_{66} C_{66}}; a_{44} = \frac{1}{A_1} \left( \frac{k_1 D_{12}}{C_{66}} - \frac{r D_{12}}{D_{66}} - r^2 \right); \\
a_{45} &= \frac{r}{A_1^2 D_{66} C_{66}} \cdot \left( r k_1 C_{66} \frac{\partial D_{11}}{\partial \eta} - D_{66} \frac{\partial C_{11}}{\partial \eta} - k_1^2 D_{66} \frac{\partial D_{11}}{\partial \eta} \right); \\
a_{46} &= \frac{\left( k_1 D_{66} - r C_{11} - r k_1^2 D_{11} - r k_1^2 D_{66} \right)}{A_1^2 r C_{66}} \cdot \frac{\partial A_1}{\partial \theta} + \left( k_1 D_{66} \frac{\partial k_1}{\partial \theta} - \frac{\partial C_{66}}{\partial \theta} \right) / A_1 C_{66} +
\end{aligned}$$

$$\begin{aligned}
& + \frac{rk_1}{A_1^2 D_{66}} \cdot \left( A_1 \frac{\partial D_{66}}{\partial \theta} + D_{11} \frac{\partial A_1}{\partial \theta} \right) + \frac{1}{A_1^2} \left( rk_1 \frac{\partial A_1}{\partial \theta} + A_1 r \frac{\partial k_1}{\partial \theta} - \frac{\partial A_1}{\partial \theta} \right); \\
a_{47} &= \frac{r^2 k_1^2 D_{11} + r^2 K_1 + D_{12}}{A_1 D_{66}} - \frac{r C_{12} + 2r^2 k_1 K_1 + r^2 k_1 C_{11} + r^2 k_1^3 D_{11} + k_1 D_{12}}{A_1 r C_{66}}; \\
a_{48} &= \frac{(k_1 D_{66} - r C_{66})}{A_1^2 D_{66} C_{66}} \cdot \frac{\partial D_{11}}{\partial \eta}; \quad a_{49} = \frac{r}{A_1^2} \left[ \left( D_{11} \frac{\partial A}{\partial \theta} + A_1 r \frac{\partial D_{66}}{\partial \theta} \right) / D_{66} + \frac{\partial A_1}{\partial \theta} \right] - \\
& - \frac{D_{66}}{A_1 C_{66}} \frac{\partial k_1}{\partial \theta} + \frac{\partial A_1}{\partial \theta} \cdot (D_{66} - rk_1 D_{66} - k_1 D_{11}) / A_1^2 r C_{66}; \\
a_{4,10} &= \frac{D_{66}}{A_1 r^3 C_{66}} \cdot \left( \frac{\partial A_1}{\partial \theta} - rk_1 \frac{\partial A_1}{\partial \theta} + A_1 r \frac{\partial k_1}{\partial \theta} \right) + \frac{1 - rk_1}{A_1 r} \cdot \frac{\partial A_1}{\partial \theta} + \frac{1}{r D_{66}} \cdot \frac{\partial D_{66}}{\partial \theta} - \frac{1}{r C_{66}} \cdot \frac{\partial C_{66}}{\partial \theta}; \\
a_{4,11} &= \frac{1}{A_1} \left[ \frac{1}{D_{66}} \frac{\partial D_{12}}{\partial \eta} - \frac{k_1}{r C_{66}} \frac{\partial D_{12}}{\partial \eta} - \frac{1}{C_{66}} \frac{\partial C_{12}}{\partial \eta} \right]; \\
a_{4,12} &= - \frac{D_{66}}{A_1 r^2 C_{66}} \left( \frac{\partial A_1}{\partial \theta} - rk_1 \frac{\partial A_1}{\partial \theta} + A_1 r \frac{\partial k_1}{\partial \theta} \right) - \frac{1}{A_1} \frac{\partial A_1}{\partial \theta} - \frac{1}{D_{66}} \frac{\partial D_{66}}{\partial \theta}; \\
a_{4,13} &= \frac{(k_1 D_{66} - r C_{66})}{A_1 D_{66} C_{66}} \cdot \frac{\partial D_{12}}{\partial \eta}; \\
a_{4,14} &= - \frac{q}{A_1^2 r^2 C_{66}} \cdot k_1 D_{66} \left( \frac{\partial A_1}{\partial \theta} - rk_1 \frac{\partial A_1}{\partial \theta} + A_1 r \frac{\partial k_1}{\partial \theta} \right) \cdot \frac{\partial A_1}{\partial \theta} - \frac{k_1}{A_1 D_{66}} \left( \frac{\partial D_{66}}{\partial \theta} \frac{\partial A_1}{\partial \theta} + A_1 r^2 K_1 \right) + \\
& + \left[ \left( \frac{\partial A_1}{\partial \theta} \right)^2 + A_1 \frac{\partial^2 A_1}{\partial \theta^2} - A_1 r \frac{\partial k_1}{\partial \theta} \cdot \frac{\partial A_1}{\partial \theta} - A_1 r k_1 \frac{\partial^2 A_1}{\partial \theta^2} - rk_1 \left( \frac{\partial A_1}{\partial \theta} \right)^2 \right] / r A_1^2 - \\
& - \left( 2Ar^2 k_1^2 K_1 - \frac{\partial C_{66}}{\partial \theta} \cdot \frac{\partial A_1}{\partial \theta} \right) / A_1 r C_{66}; \\
a_{4,15} &= \frac{1}{A_1^2 D_{66} C_{66}} \left( rk_1 C_{66} \frac{\partial D_{11}}{\partial \eta} - D_{66} \frac{\partial C_{11}}{\partial \eta} - k_1^2 D_{66} \frac{\partial D_{11}}{\partial \eta} \right) \cdot \frac{\partial A_1}{\partial \theta}; \\
a_{4,16} &= \frac{1}{A_1 D_{66}} \left( \frac{\partial D_{12}}{\partial \eta} + r^2 k_1^2 \frac{\partial D_{11}}{\partial \eta} \right) - \\
& - \frac{1}{A_1 r C_{66}} \left( r^2 k_1 \frac{\partial C_{11}}{\partial \eta} + k_1 \frac{\partial D_{12}}{\partial \eta} + r^2 k_1^3 \frac{\partial D_{11}}{\partial \eta} + r \frac{\partial C_{12}}{\partial \eta} \right); \\
a_{4,17} &= \frac{(D_{66} - rk_1 D_{66} + r^2 C_{66})}{A_1^2 r^2 C_{66}} \cdot \left( \frac{\partial A}{\partial \theta} \right)^2 +
\end{aligned}$$



$$\begin{aligned}
& + \frac{1}{A_1} \left( \frac{1}{D_{66}} \frac{\partial D_{66}}{\partial \theta} + \frac{D_{66}}{rC_{66}} \frac{\partial k_1}{\partial \theta} \right) \cdot \frac{\partial A}{\partial \theta} + \frac{rK_1 (rC_{66} - 2k_1 D_{66})}{D_{66} C_{66}} + \frac{1}{A} \cdot \frac{\partial^2 A}{\partial \theta^2}; \\
a_{4,18} & = \frac{(k_1 D_{66} - rC_{66})}{A_1^2 D_{66} C_{66}} \cdot \frac{\partial A_1}{\partial \theta} \cdot \frac{\partial D_{11}}{\partial \eta}; \quad a_{4,19} = \frac{r q_\eta}{C_{66}}; \\
a_{51} & = \frac{r^3 k_1 D_{12} C_{22} + r^2 D_{66} C_{22} + D_{22} D_{66} - r^2 D_{22} C_{66} - r^2 D_{22} C_{12}}{A_1 r^2 C_{22} D_{22}}; \\
a_{52} & = \frac{k_1 D_{22} D_{66} - r D_{22} C_{66} + r^2 k_1 D_{66} C_{22}}{A_1^2 C_{22} D_{22}}; \\
a_{53} & = -\frac{D_{22} D_{66} + r^2 D_{66} C_{22} + r^2 D_{12} C_{22}}{A_1 r C_{22} D_{22}}; \quad a_{54} = -\frac{D_{66} (r^2 C_{22} + D_{22})}{A_1^2 C_{22} D_{22}}; \\
a_{55} & = \frac{r}{A_1^2 D_{22}} \left( A_1 D_{12} \frac{\partial k_1}{\partial \theta} + A_1 k_1 \frac{\partial D_{12}}{\partial \theta} - k_1 D_{66} \frac{\partial A_1}{\partial \theta} - k_1 D_{11} \frac{\partial A_1}{\partial \theta} \right) + \\
& + \frac{1}{A_1^2 r C_{22}} \left( r C_{11} \frac{\partial A_1}{\partial \theta} + r C_{66} \frac{\partial A_1}{\partial \theta} - A_1 r \frac{\partial C_{12}}{\partial \theta} - k_1 D_{66} \frac{\partial A_1}{\partial \theta} \right); \\
a_{56} & = \frac{1}{A_1^2 C_{22} D_{22}} \left( r^2 k_1 C_{22} \frac{\partial D_{66}}{\partial \eta} - r D_{22} \frac{\partial C_{66}}{\partial \eta} + k_1 D_{22} \frac{\partial D_{66}}{\partial \eta} \right); \\
a_{57} & = \frac{1}{A_1^2 r C_{22} D_{22}} \left( D_{22} D_{66} \frac{\partial A_1}{\partial \theta} - A_1 r^2 C_{22} \frac{\partial D_{12}}{\partial \theta} + r^2 D_{11} C_{22} \frac{\partial A_1}{\partial \theta} + r^2 D_{66} C_{22} \frac{\partial A_1}{\partial \theta} \right); \\
a_{58} & = -\frac{(r^2 C_{22} + D_{22})}{A_1^2 C_{22} D_{22}} \cdot \frac{\partial D_{66}}{\partial \eta}; \quad a_{59} = \left( D_{22} \frac{\partial D_{66}}{\partial \eta} - r^2 D_{22} \frac{\partial C_{66}}{\partial \eta} + r^2 C_{22} \frac{\partial D_{66}}{\partial \eta} \right) / A_1 r^2 C_{22} D_{22}; \\
a_{5,10} & = \left( r k_1 D_{12} C_{22} \frac{\partial A_1}{\partial \theta} + A_1 C_{22} \frac{\partial D_{22}}{\partial \theta} - A_1 D_{22} \frac{\partial C_{22}}{\partial \theta} - D_{12} C_{22} \frac{\partial A_1}{\partial \theta} \right) / A_1 r C_{22} D_{22}; \\
a_{4,11} & = \frac{1}{A_1} \left[ \frac{1}{D_{66}} \frac{\partial D_{12}}{\partial \eta} - \frac{k_1}{r C_{66}} \frac{\partial D_{12}}{\partial \eta} - \frac{1}{C_{66}} \frac{\partial C_{12}}{\partial \eta} \right]; \\
a_{5,12} & = -\frac{(r^2 C_{22} + D_{22})}{A_1 r C_{22} D_{22}} \cdot \frac{\partial D_{66}}{\partial \eta}; \quad a_{5,13} = -\left( \frac{1}{A_1} \frac{\partial A}{\partial \theta} + \frac{1}{D_{22}} \frac{\partial D_{22}}{\partial \theta} \right); \\
a_{5,14} & = \frac{1}{A_1^2 r C_{22} D_{22}} \left( r D_{22} \frac{\partial C_{66}}{\partial \eta} - r^2 k_1 C_{22} \frac{\partial D_{66}}{\partial \eta} - k_1 D_{22} \frac{\partial D_{66}}{\partial \eta} \right) \cdot \frac{\partial A_1}{\partial \theta};
\end{aligned}$$

$$\begin{aligned}
a_{5,15} &= \left( A_1^2 K_2 - A_1 \frac{\partial C_{12}}{\partial \theta} \frac{\partial A_1}{\partial \theta} - A_1 C_{12} \frac{\partial^2 A_1}{\partial \theta^2} + C_{11} \left( \frac{\partial A_1}{\partial \theta} \right)^2 \right) / A_1^2 r C_{22} + \\
&+ \left( A_1 k_1 D_{12} \frac{\partial^2 A_1}{\partial \theta^2} - k_1 D_{11} \left( \frac{\partial A_1}{\partial \theta} \right)^2 + A_1 k_1 \frac{\partial D_{12}}{\partial \theta} \frac{\partial A_1}{\partial \theta} + A_1 D_{12} \frac{\partial k_1}{\partial \theta} \frac{\partial A_1}{\partial \theta} - A_1^2 r K_2 \right) / A_1^2 D_{22}; \\
a_{5,16} &= \left( C_{12} \frac{\partial A_1}{\partial \theta} - A_1 r k_1 \frac{\partial C_{12}}{\partial \theta} - r k_1 C_{12} \frac{\partial A_1}{\partial \theta} + r k_1 C_{11} \frac{\partial A_1}{\partial \theta} - A_1 \frac{\partial C_{22}}{\partial \theta} - A_1 r C_{12} \frac{\partial k_1}{\partial \theta} \right) / A_1 r C_{22} + \\
&+ \left( 2 A_1 r^2 k_1 D_{12} \frac{\partial k_1}{\partial \theta} + A_1 r^2 k_1^2 \frac{\partial D_{12}}{\partial \theta} - r^2 k_1^2 D_{11} \frac{\partial A_1}{\partial \theta} - D_{12} \frac{\partial A_1}{\partial \theta} + r^2 k_1^2 D_{12} \frac{\partial A_1}{\partial \theta} + A \frac{\partial D_{22}}{\partial \theta} \right) / A_1 r D_{22}; \\
a_{5,17} &= \frac{(r^2 C_{22} + D_{22})}{A_1^2 r C_{22} D_{22}} \cdot \frac{\partial D_{66}}{\partial \eta} \cdot \frac{\partial A_1}{\partial \theta}; \\
a_{5,18} &= \left( A_1^2 r^2 K_2 C_{22} - A_1 C_{22} D_{12} \frac{\partial^2 A_1}{\partial \theta^2} + C_{22} D_{11} \left( \frac{\partial A_1}{\partial \theta} \right)^2 - \right. \\
&\left. - A_1 C_{22} \frac{dD_{12}}{d\theta} \frac{\partial A_1}{\partial \theta} - A_1^2 K_2 D_{22} \right) / A_1^2 C_{22} D_{22}; \quad a_{5,19} = -\frac{r}{C_{22}} q_\theta.
\end{aligned}$$

Присоединив к системе разрешающих уравнений (12) граничные условия, получаем двумерную краевую задачу. Поскольку в основную систему входят производные от разрешающих функций не выше второго порядка, то для аппроксимации решения ограничимся сплайн-функциями третьей степени, которые формируются с помощью линейной комбинации  $B$ -сплайнов так, чтобы точно удовлетворить некоторым типам граничных условий. Тогда искомое решение краевой задачи для системы уравнений (12) с соответствующими граничными условиями представим в виде

$$u(\eta, \theta) = \sum_{i=0}^N u_i(\theta) \varphi_{1i}(\eta), \quad v(\eta, \theta) = \sum_{i=0}^N v_i(\theta) \varphi_{2i}(\eta), \quad w(\eta, \theta) = \sum_{i=0}^N w_i(\theta) \varphi_{3i}(\eta),$$

$$\psi_\eta(\eta, \theta) = \sum_{i=0}^N \psi_{\eta i}(\theta) \varphi_{4i}(\eta), \quad \psi_\theta(\eta, \theta) = \sum_{i=0}^N \psi_{\theta i}(\theta) \varphi_{5i}(\eta), \quad (14)$$

где  $u_i(\theta)$ ,  $v_i(\theta)$ ,  $w_i(\theta)$ ,  $\psi_{\eta i}(\theta)$ ,  $\psi_{\theta i}(\theta)$  – функции, подлежащие определению, а  $\varphi_{j(\eta)}$  ( $j = \overline{1,5}$ ) – линейные комбинации  $B$ -сплайнов третьей степени.

На криволинейных контурах осевой окружности ( $\eta = \text{const}$ ) рассмотрим граничные условия:

1) контур жестко закреплен

$$u = v = w = \psi_\eta = \psi_\theta = 0; \quad (15)$$

2) контур шарнирно закреплен

$$u = v = w = M_\eta = Q_\theta = 0; \quad (16)$$

$$\text{или } u = v = w = \frac{\partial \psi_\eta}{\partial \eta} = \psi_\theta = 0; \quad (17)$$

3) контур закреплен и свободен в нормальном направлении

$$u = N_{\eta\theta} = Q_{\eta} = \psi_{\eta} = M_{\eta\theta} = 0; \quad (18)$$

$$\text{или } u = \frac{\partial v}{\partial \eta} = \frac{\partial^2 \psi_{\eta}}{\partial \eta^2} = \psi_{\eta} = \frac{\partial \psi_{\theta}}{\partial \eta} = 0; \quad (19)$$

4) контур шарнирно оперт и свободен в направлении образующей

$$N_{\eta} = v = w = M_{\eta} = \psi_{\theta} = 0; \quad (20)$$

$$\text{или } \frac{\partial u}{\partial \eta} = v = w = \frac{\partial \psi_{\eta}}{\partial \eta} = \psi_{\theta} = 0. \quad (21)$$

Так как приведенные граничные условия (15) – (21) содержат значения разрешающих функций и их производных, которые приравняются нулю, то на контуре  $\eta = \eta_i$  ( $i = 1, 2$ ) их можно представить через  $B$ -сплайны следующим образом:

а) если разрешающая функция равна нулю на обоих торцах оболочки, то

$$\begin{aligned} \varphi_{j0} &= -4B_3^{-1}(\eta) + B_3^0(\eta); \quad \varphi_{j1} = -B_3^{-1}(\eta) - \frac{1}{2}B_3^0(\eta) + B_3^1(\eta); \\ \varphi_{ji} &= -B_3^i(\eta) \quad (i = 2, 3, \dots, N-2); \\ \varphi_{jN-1} &= B_3^{N-1}(\eta) - \frac{1}{2}B_3^N(\eta) + B_3^{N+1}(\eta); \\ \varphi_{jN} &= B_3^N(\eta) - 4B_3^{N+1}(\eta); \end{aligned} \quad (22)$$

б) если производная по  $\eta$  от разрешающей функции равна нулю на обоих торцах, то

$$\begin{aligned} \varphi_{j0} &= B_3^0(\eta); \quad \varphi_{j1} = B_3^{-1}(\eta) - \frac{1}{2}B_3^0(\eta) + B_3^1(\eta); \\ \varphi_{ji} &= B_3^i(\eta) \quad (i = 2, 3, \dots, N-2); \\ \varphi_{jN-1} &= B_3^{N-1}(\eta) - \frac{1}{2}B_3^N(\eta) + B_3^{N+1}(\eta); \\ \varphi_{jN} &= B_3^N(\eta). \end{aligned} \quad (23)$$

Подставляя выражение (13) в разрешающую систему уравнений (11) и в соответствии с методом сплайн-аппроксимации требуя их удовлетворения на  $N+1$  линиях  $\eta = \xi_i$  ( $i = \overline{1, N+1}$ ), получаем систему обыкновенных дифференциальных уравнений порядка  $10(N+1)$ , которую представим в виде

$$\frac{d\bar{R}}{d\theta} = A\bar{R} + \bar{f}; \quad (24)$$

$$\begin{aligned} \bar{R} &= \{u_0, \dots, u_N, u'_0, \dots, u'_N, v_0, \dots, v_N, v'_0, \dots, v'_N; \\ &w_0, \dots, w_N, w'_0, \dots, w'_N, \psi_{\eta 0}, \dots, \psi_{\eta N}, \psi'_{\eta 0}, \dots; \\ &\psi'_{\eta N}, \psi_{\theta 0}, \dots, \psi_{\theta N}, \psi'_{\theta 0}, \dots, \psi'_{\theta N}\}^T, \end{aligned} \quad (25)$$

где  $\bar{R}$  – вектор-функция от  $\theta$ ;  $\bar{f}$  – вектор правых частей;  $A$  – квадратная матрица, элементы которой зависят от  $\theta$ . При этом используем условия симметрии по  $\theta$ .

### 3. Числовые результаты.

На основе изложенного подхода решена задача о напряженном состоянии замкнутой в поперечном сечении усеченной тороидальной ортотропной оболочки постоянной толщины с круговым поперечным сечением при следующих исходных данных:  $S$  – длина дуги вдоль оси оболочки  $0 \leq S \leq L$ ,  $L=8\theta$ , толщина  $h=1,5$ ;  $r=15$ ;  $\Delta\eta=\pi/3; \pi/2; 2\pi/3$ ,  $\Delta\eta \cdot R = L$ . Механические параметры оболочки принимают сле-

дующие значения [15]:  $E_\eta = 5E$ ;  $E_\theta = 1,25E$ ;  $G_{\eta\theta} = 0,4E$ ;  $G_{\eta\gamma} = G_{\theta\gamma} = 0,2E$ , где  $E$  – модуль упругости, коэффициент Пуассона  $\nu_\eta = 0,045$ . Оболочка подвержена действию внутреннего нормального давления  $q = q_0 = \text{const}$ .

Исследуем влияние величины угла осевого сечения тора и способа закрепления краев на нормальное перемещение и напряжения оболочки. Результаты решения задачи приведены на рис. 2, 3 в виде графиков распределения прогибов, соответственно, для жестко закрепленного и шарнирно закрепленного контуров и в табл. 1 – 4 – для напряжений  $\sigma_\eta$ ,  $\sigma_\theta$  на внешней и внутренней поверхностях оболочки. На рис. 2 показаны графики распределений полей перемещений вдоль оси оболочки для трех вариантов искривления оси при  $\Delta\eta = \pi/3; \pi/2; 2\pi/3$  на интервале  $0 \leq S \leq L/2$  для случая жестко закрепленных краев оболочки. Сплошными линиями обозначены кривые для  $\theta = -\pi/2$ , а штриховыми – для  $\theta = 0$ . Для случаев  $\theta = \pi/2$  и  $\theta = -\pi/2$  графики отличаются незначительно.

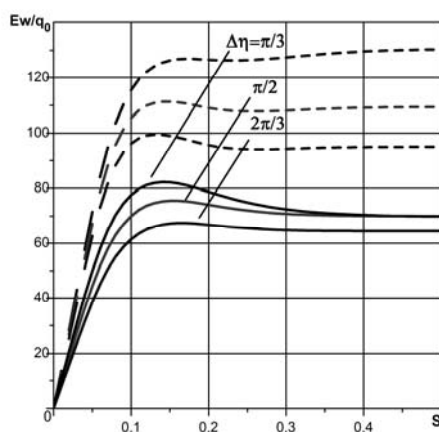


Рис. 2

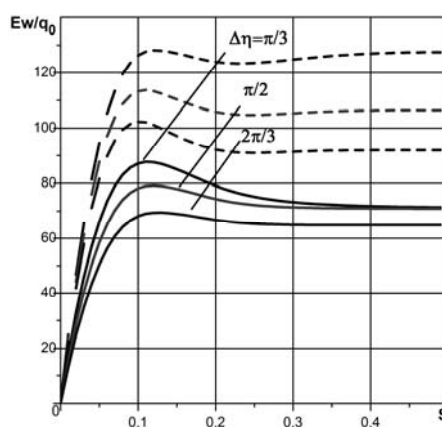


Рис. 3

Из рис. 2 видно, как при изгибании оболочки с увеличением угла раствора в осевом сечении оболочка становится более жесткой. При этом тороидальная оболочка в сечении  $\theta = 0$  деформируется больше, чем при  $\theta = -\pi/2$ , т.е. она более податлива в перпендикулярном к осевому сечению направлении.

Аналогичная картина имеет место и для варианта при шарнирном закреплении контуров оболочки (рис. 3). Здесь все обозначения совпадают с ранее принятыми (рис. 2). В этом случае максимальное значение прогибов оболочки превышает максимальное значение для случая жесткого закрепления торцов.

В табл. 1, 2 приведены значения напряжений, соответственно,  $\sigma_\eta^+$  – на внешней поверхности оболочки и  $\sigma_\eta^-$  – на внутренней поверхности вдоль оси оболочки в трех точках поперечного сечения  $\theta = -\pi/2, 0, \pi/2$  в зависимости от изменения угла  $\Delta\eta = \pi/3; \pi/2; 2\pi/3$  для жестко (I) и шарнирно (II) закрепленных торцов. Из табл. 1 следует, что для варианта I в зависимости от  $\Delta\eta$  напряжение  $\sigma_\eta^+$  для  $\theta = -\pi/2$  сначала увеличивается по абсолютной величине при  $\Delta\eta = \pi/2$ , а затем убывает при  $\Delta\eta = 2\pi/3$ . Для варианта же II напряжение положительное и с увеличением  $\Delta\eta$  плавно возрастает. Для  $\theta = 0$  напряжение  $\sigma_\eta^+$  изменяет значение и для  $\theta = \pi/2$  оно почти совпадает с  $\sigma_\eta^+$  при  $\theta = -\pi/2$ .

Таблица 1

S/L	$\theta$	$\sigma_{\eta}^{+}$					
		$\Delta\eta = \pi/3$		$\Delta\eta = \pi/2$		$\Delta\eta = 2\pi/3$	
		I	II	I	II	I	II
0	$-\pi/2$	-7,1407	7,3534	-10,707	8,8583	-4,0349	9,7361
	0	6,1703	4,5807	4,1283	6,6992	7,4828	8,035
	$\pi/2$	-7,1408	7,3535	-10,707	8,8582	-4,0349	9,7361
0,1	$-\pi/2$	-7,2143	7,4538	-10,891	8,8388	-4,1705	9,5865
	0	6,4966	5,1578	4,7852	6,9051	7,4693	7,8749
	$\pi/2$	-7,2144	7,4538	-10,891	8,8387	-4,1705	9,5865
0,2	$-\pi/2$	-7,965	7,6427	-11,887	8,9895	-4,8265	9,7129
	0	7,0277	5,9079	5,6084	7,3437	7,8078	8,1196
	$\pi/2$	-7,9652	7,6428	-11,887	8,9894	-4,8264	9,713
0,25	$-\pi/2$	-8,3868	7,6686	-12,445	9,003	-5,1787	9,7206
	0	7,2475	6,2284	5,9583	7,5288	7,9519	8,2301
	$\pi/2$	-8,3869	7,6688	-12,445	9,0029	-5,1786	9,7207
0,5	$-\pi/2$	-9,6217	7,5133	-14,04	8,8438	-6,202	9,5649
	0	7,6627	6,864	6,6546	7,8756	8,2159	8,4269
	$\pi/2$	-9,6208	7,5134	-14,04	8,8437	-6,2019	9,565

Таблица 2

S/L	$\theta$	$\sigma_{\eta}^{-}$					
		$\Delta\eta = \pi/3$		$\Delta\eta = \pi/2$		$\Delta\eta = 2\pi/3$	
		I	II	I	II	I	II
0	$-\pi/2$	25,652	7,4992	25,355	9,1231	24,309	10,126
	0	4,4123	4,8431	6,4642	6,9853	7,8779	8,4292
	$\pi/2$	25,652	7,4992	25,356	9,1232	24,309	10,126
0,1	$-\pi/2$	26,043	7,5931	25,378	9,0809	24,069	9,9286
	0	5,2038	5,5491	6,9338	7,3222	8,0075	8,3979
	$\pi/2$	26,043	7,5931	25,378	9,081	24,069	9,9286
0,2	$-\pi/2$	27,521	7,7786	26,6	9,2185	25,181	10,029
	0	5,9792	6,2613	7,4472	7,7448	8,3081	8,6002
	$\pi/2$	27,521	7,7786	26,6	9,2186	25,181	10,028
0,25	$-\pi/2$	28,192	7,802	27,151	9,2254	25,68	10,024
	0	6,2604	6,5216	7,6228	7,8905	8,4039	8,6642
	$\pi/2$	28,192	7,8021	27,151	9,2255	25,68	10,024
0,5	$-\pi/2$	29,644	7,6376	28,344	9,0473	26,761	9,8384
	0	6,6745	6,9064	7,8376	8,0613	8,4771	8,6897
	$\pi/2$	29,644	7,6376	28,343	9,0474	26,761	9,8384

Из табл. 2 следует, что напряжения  $\sigma_{\eta}^{-}$  на внутренней поверхности оболочки для варианта I по  $\theta$  не изменяют знак и при  $\theta = 0$  уменьшаются в несколько раз, а с уве-

личением  $\Delta\eta$  изменяются незначительно. Для варианта II общая картина не меняется, но напряжения по величине убывают в несколько раз.

Таблица 3

S/L	$\theta$	$\sigma_{\theta}^{+}$					
		$\Delta\eta = \pi/3$		$\Delta\eta = \pi/2$		$\Delta\eta = 2\pi/3$	
		I	II	I	II	I	II
0	$-\pi/2$	-0,12045	0,08273	-0,08033	0,09966	-0,04539	0,10953
	0	7,9021	7,8349	6,9289	6,7922	5,7998	5,6022
	$\pi/2$	-0,12043	0,08275	-0,08035	0,09962	-0,04539	0,10954
0,1	$-\pi/2$	-0,12253	0,08385	-0,08116	0,09944	-0,04692	0,10785
	0	7,9158	7,8638	7,0542	6,9606	6,1667	6,0417
	$\pi/2$	-0,12251	0,08389	-0,08119	0,09939	-0,04691	0,10787
0,2	$-\pi/2$	-0,13373	0,08598	-0,08961	0,10113	-0,0543	0,10927
	0	8,0461	7,9942	7,2082	7,1336	6,4485	6,3587
	$\pi/2$	-0,13372	0,08601	-0,08963	0,10108	-0,05428	0,1093
0,25	$-\pi/2$	-0,14001	0,08627	-0,09435	0,10128	-0,05826	0,10936
	0	8,111	8,058	7,2779	7,2074	6,557	6,4754
	$\pi/2$	-0,13999	0,08631	-0,09438	0,10123	-0,05825	0,10939
0,5	$-\pi/2$	-0,15795	0,08452	-0,10824	0,09949	-0,06977	0,10761
	0	8,3079	8,2482	7,4976	7,425	6,8436	6,7635
	$\pi/2$	-0,15793	0,08456	-0,10826	0,09943	-0,06975	0,10764

Таблица 4

S/L	$\theta$	$\sigma_{\theta}^{-}$					
		$\Delta\eta = \pi/3$		$\Delta\eta = \pi/2$		$\Delta\eta = 2\pi/3$	
		I	II	I	II	I	II
0	$-\pi/2$	0,28859	0,08437	0,28525	0,10263	0,27348	0,11392
	0	9,7689	9,6255	8,3941	8,1899	7,1022	6,8533
	$\pi/2$	0,2886	0,0844	0,28524	0,10259	0,27348	0,11394
0,1	$-\pi/2$	0,29299	0,08542	0,2855	0,10216	0,27078	0,1117
	0	9,3518	9,2519	8,1756	8,0361	7,1057	6,9374
	$\pi/2$	0,293	0,08546	0,28547	0,10211	0,27079	0,11172
0,20	$-\pi/2$	0,30961	0,08751	0,29925	0,10371	0,28328	0,11282
	0	8,9745	8,9105	8,0137	7,9195	7,1325	7,0157
	$\pi/2$	0,30963	0,08754	0,29922	0,10365	0,2833	0,11285
0,25	$-\pi/2$	0,31716	0,08777	0,30545	0,10379	0,2889	0,11277
	0	8,8351	8,7847	7,9648	7,8877	7,1634	7,0667
	$\pi/2$	0,31718	0,08781	0,30542	0,10373	0,28891	0,1128
0,50	$-\pi/2$	0,3335	0,08592	0,31887	0,10178	0,30106	0,11068
	0	8,5302	8,508	7,8372	7,8011	7,21	7,164
	$\pi/2$	0,33351	0,08596	0,31883	0,10172	0,30108	0,11072

В табл. 3, 4 приведены значения, соответственно,  $\sigma_{\theta}^{+}$  и  $\sigma_{\theta}^{-}$  на внешней и внутренней сторонах оболочки при тех же геометрических параметрах (табл. 1, 2).

Из табл. 3 следует, что при  $\theta = \pm\pi/2$ , напряжения  $\sigma_{\theta}^{+}$  с увеличением  $\Delta\eta$  значительно убывают, а при  $\theta = 0$  изменяются незначительно. Но при этом величина  $\sigma_{\theta}^{+}$  при  $\theta = 0$  значительно больше её значения при  $\theta = \pm\pi/2$ . Максимальные величины напряжений  $\sigma_{\theta}^{+}$  при  $\theta = 0$  для вариантов I и II отличаются незначительно. Это свидетельствует о том, что граничные условия на торцах мало влияют на напряжения  $\sigma_{\theta}^{+}$  на некотором удалении от торцов.

Аналогичная картина в отношении напряжений  $\sigma_{\theta}^{-}$  имеет место и на внутренней поверхности оболочки, что отображено в табл. 4.

Отметим, что при решении рассмотренных задач для получения решения с достаточной точностью учитывалось 16 точек коллокации, вследствие чего получено 160 обыкновенных дифференциальных уравнений. При этом для получения устойчивого результата количество точек ортогонализации при применении численного метода равнялось 315.

#### **Заключение.**

Таким образом, данный подход, основанный на использовании неклассической модели типа Тимошенко, метода сплайн-коллокации и устойчивого численного метода дискретной ортогонализации позволяет решать задачи о напряженном состоянии тороидальных ортотропных оболочек в широком диапазоне изменения их геометрических и механических параметров с достаточной точностью.

РЕЗЮМЕ. На основі розробленого підходу розв'язана задача та проведено дослідження напруженого стану ортотропних тороїдальних оболонок у неklasичній постановці, що базується на моделі прямолінійного елемента. Наведено числові дані про розподіли прогинів та напружень в залежності від викривлення осі оболонки.

1. Беллман Р., Калаба Р. Квазилинеаризация и нелинейные краевые задачи. – М.: Мир, 1968. – 184 с.
2. Булгаков В. Н. Статика тороидальных оболочек. – К.: Изд-во АН УССР, 1962. – 100 с.
3. Годунов С. К. О численном решении краевых задач для систем линейных обыкновенных дифференциальных уравнений // Успехи мат. наук – 1961. – 16, № 3. – С. 171 – 174.
4. Голушко С. К., Немировский Ю. В. Прямые и обратные задачи механики композитных пластин и оболочек вращения. – М.: ФИЗМАТЛИТ, 2008. – 432 с.
5. Григолюк Э. И., Коган Е. А. Статика упругих слоистых оболочек. – М.: НИИ механики Моск. ун-та, 1999. – 215 с.
6. Григоренко Я. М. Изотропные и анизотропные оболочки вращения переменной жесткости. – К.: Наук. думка, 1973. – 228 с.
7. Григоренко Я. М. Некоторые подходы к решению линейных и нелинейных задач теории оболочек в классической и уточненной постановках // Прикл. механика. – 1996. – 32, № 6. – С. 3 – 39.
8. Григоренко Я. М., Будак В. Д., Григоренко О. Я. Розв'язання задач теорії оболонок на основі дискретно-континуальних методів. – Миколаїв: Іліон, 2010. – 294 с.
9. Григоренко Я. М., Василенко А. Т., Беспалов Е. И. и др. Численное решение краевых задач статики ортотропных оболочек с переменными параметрами. – К.: Наук. думка, 1975. – 183 с.
10. Григоренко Я. М., Василенко А. Т., Голуб Г. П. Статика анизотропных оболочек с конечной сдвиговой жесткостью. – К.: Наук. думка, 1987. – 216 с.
11. Григоренко Я. М., Влайков Г. Г., Григоренко А. Я. Численно-аналитическое решение задач механики оболочек на основе различных моделей. – К.: Академперіодика, 2006. – 472 с.
12. Григоренко Я. М., Крюков Н. Н. Решение задач теории пластин и оболочек с применением сплайн-функций (Обзор) // Прикл. механика. – 1995. – 31, № 6 – С. 3 – 28.

13. Завьялов Ю. С., Квасов Ю. И., Мирошниченко В. М. Методы сплайн-функций. – М.: Наука, 1980. – 352 с.
14. Кларк Э., Рейснер Э. Изгиб труб с криволинейной осью // Проблемы механики. – М.: Изд-во иностр. лит-ры, 1955. – С. 125 – 149.
15. Лехницкий С. Г. Теория упругости анизотропных тел. – М.: Наука, 1977. – 415 с.
16. Тимошенко С. П. Курс теории упругости. – К.: Наук. думка, 1972. – 501 с.
17. Grigorenko Ya. M., Rozhok L. S. Stress analysis of longitudinally corrugated hollow orthotropic elliptic cylinders // Int. Appl. Mech. – 2010. – **46**, N 3. – P. 255 – 263.
18. Grigorenko Ya. M., Rozhok L. S. Influence of Curvature on the Stress State of Hollow Cylinders with Complex-Shaped Noncircular Cross-Section cylinders // Int. Appl. Mech. – 2010. – **46**, N 7. – P. 737 – 743.
19. Grigorenko Ya. M., Rozhok L. S. Analysis of Stress State of Hollow Layered Cylinders with the Cross-Section of Complex-Shaped // Int. Appl. Mech. – 2011. – **47**, N 6. – P. 48 – 57.
20. Piskunov V. G., Rasskazov A. O. Evolution of the theory of laminated plates and shells // Int. Appl. Mech. – 2002. – **38**, N 2. – P. 135 – 166.
21. Soldatos K. P. Mechanics of cylindrical shells with non-circular cross-section. A survey // Appl. Mech. Rev. – 1999. – **52**. – P. 237 – 274.

Поступила 05.03.2012

Утверждена в печать 22.11.2012

